2025

Oct.

2025 年 10 月

地铁隧道原位扩建施工方案比选优化分析

Comparison and Optimization Analysis of Construction Schemes for In - Situ Subway Tunnel Expansion

刘广坤

(河南中州路桥建设有限公司,周口466000)

摘 要:以某城市地铁隧道为工程背景,运用 FLAC 3D 有限差分软件构建地铁隧道不同原位扩建数值仿真模型,采用两台阶法进行扩建施工,分析不同原位扩建方案下地铁隧道洞周收敛变形、围岩应力、初期支护安全系数,综合评价不同扩建方案的施工稳定性,对比确定最优原位扩建方案。结果表明:双侧扩建在稳定性、应力分布和初支安全性方面均优于周围扩建和左侧扩建(单侧扩建)。成果可为城市地铁隧道原位扩建设计与施工提供一定参考。

关键词:地铁隧道;原位扩建;方案比选;数值模拟

中图分类号: U451 文献标志码: A 文章编号: 1005-8249 (2025) 04-0116-05

DOI: 10.19860/j.cnki.issn1005-8249.2025.04.021

LIU Guangkun

(Henan Zhongzhou Road & Bridge Construction Co., Ltd., Zhoukou 466000, China)

Abstract: Taking a urban subway tunnel as the engineering background, FLAC 3D finite difference software was employed to establish numerical simulation models for different in – situ expansion schemes. The two – bench excavation method was adopted for construction, and the tunnel convergence deformation, surrounding rock stress, and safety factor of primary support under various expansion schemes were analyzed. A comprehensive evaluation of construction stability was conducted to determine the optimal in – situ expansion scheme. The results indicate that the double – side expansion outperforms the full – ring expansion and left – side (single – side) expansion in terms of stability, stress distribution, and primary support safety. The findings can provide references for the design and construction of urban subway tunnel in – situ expansion projects.

Key words: subway tunnel; in - situ expansion; scheme comparison; numerical simulation

0 引言

伴随城市经济快速发展, 地铁客流压力使既有 隧道通行能力面临严峻挑战, 为满足日益增加的交 通量需求, 地下空间改扩建势在必行。而此类工程

作者简介: 刘广坤 (1980—), 男, 本科, 高级工程师, 研究方向: 公路桥梁。

收稿日期: 2023-07-18

难点在于如何减小施工对周边环境的扰动,因此合适施工方案的选择成为关键环节^[1]。近年来,众多学者于隧道改扩建方面开展了不少研究,李永山等^[2]以特大断面隧道原位扩建为分析背景,提出了"核心五步法"的原位扩挖方案,有效保障了扩挖稳定性;黄明利等^[3]在单洞双线盾构隧道扩挖成地铁车站的背景下,对比分析了两连拱扩挖、三连拱扩挖等两种方案,得出三连拱扩挖方案较为合理;许学昭等^[4]在大直径盾构隧道扩挖地铁车站的前提下,提出塔柱式结构扩挖方案,可有效改善隧道关键节点的受力和变形;戴世颖^[5]以既有地铁隧道改扩工

程为依托,对改扩建断面的力学行为进行分析,优 化了扩挖技术方案: 刘翠清[6] 为减小市政隧道施工 对既有地铁的影响,改建区域岩土体采用三轴搅拌 桩进行加固,可有效减小其不利影响;胡秋芳[7]、 王玥等[8] 均强调了在复杂城市环境下进行地铁隧道 扩挖时,必须具有针对性的技术方案来确保施工变 形: 刘小鹏[9] 利用圆形超前导洞扩挖成隧道, 对比 数值模拟与对比分析发现两台阶扩建方案更为合理; 赖勇等[10]以某高速公路隧道为背景,对比 CRD 法、 层层剥皮法、三台阶法等三种原位扩挖方案,发现 三种隧道扩挖稳定性差异较小; 赵文等[11] 以南岭铁 路隧道原位扩建项目为工程背景,构建主洞与竖井 交叉段扩挖有限元模型,发现全断面法扩挖对围岩 的二次扰动程度较低; 仇在林[12] 优化设计了小导洞 先行与台阶反扩挖隧道施工方法,并验证了其优秀 干传统双侧壁导坑法:刘明辉等[13]、谢支钢等[14]、 谢宗良等[15]分别在既有人防隧道、公路隧道以及水 工隧道改扩建的基础上,采用现场监控量测与数值 模拟方法,对施工控制措施进行优化,保障隧道扩 挖稳定性。

以上研究表明,既有成熟的扩挖方案研究多集中于公路、铁路等领域,而地铁隧道扩挖仍以盾构法为主,缺乏针对其特殊断面形式的优化方案。为弥补这一不足,以某城市地铁隧道扩建工程为背景,将公路与铁路隧道中应用的典型扩挖工法引入地铁隧道,借助FLAC 3D 软件建立单侧扩建、周围扩建

及双侧扩建三种数值模型,以洞周收敛、围岩应力与初支安全系数为核心评价指标,对不同原位扩建方案进行比选与优化分析,从而确定适用于地铁特殊断面的推荐方案,以期为相关工程实践提供更全面的决策依据。

1 区间隧道扩建工程案例概况

某城市地铁区间与联络线交叉口处,受路线与周边环境综合影响且施工工期短与难度大等问题,引入矿山法进行地铁隧道特殊断面扩挖。特殊断面上部区域主要为砂岩、泥岩块石和碎石及黏性土组成的素填土,下部区域岩体主要为砂质泥岩与砂岩。扩挖完成后隧道特征断面埋深 50 m,跨度 14 m,高度 13 m,将初支与钢筋网等进行统一换算,扩建后初支与二衬厚度分别为 20、50 cm,周边岩体与支护结构参数取值见表 1。

表 1 周边岩体与支护材料参数取值

Table 1 Parameters of surrounding rock mass and supporting materials

材料	弹性模量 E/GPa	泊松比	容重 γ /(kN/m³)	黏聚力 C/MPa	内摩擦角 φ/ (°)	
周边岩体	2. 23	0. 33	19. 5	0. 23	26	
初支	24. 50	0. 20	25. 3			
二衬	28. 30	0. 20	26. 6			

地铁隧道区间与联络线交叉口特殊断面,可选取不同扩建方案利用两台阶法进行开挖,不同扩建方案工况如图1所示。

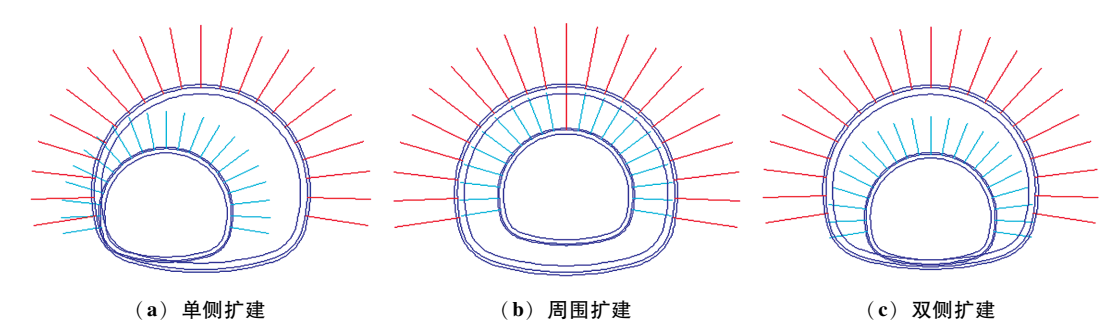


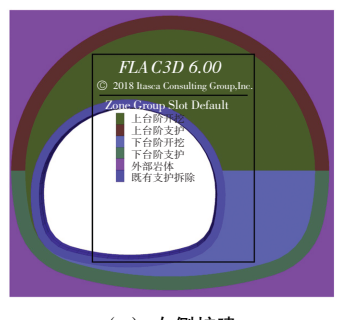
图 1 城市地铁隧道特殊断面扩建方案

Fig. 1 Expansion scheme of special section of urban subway tunnel

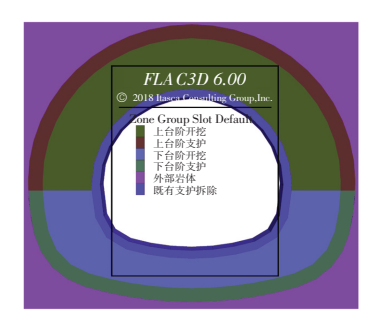
2 监测点设置与数值模型建立

基于圣维南定理建立 $x \times y \times z$ 为 90 m \times 100 m \times 1 m 网格模型,周边岩体采用摩尔 – 库仑实体单元,初

支与二衬分别采用壳弹性与实体弹性单元,力学边界除上端自由其余边界均为固定约束,三种扩建方案模型如图 2 所示。



(a) 左侧扩建



(b) 周围扩建



(c) 双侧扩建

隊道扩建将改变既有隊道周边岩体的应力状态,

扩挖形成临空面将导致扩建隧道周围发生洞周收敛

(水平位移与竖直位移),竖直收敛以顶部沉降与底

部隆起为主,水平收敛以腰部水平位移为主。对不

同扩建方案下的数值模型隧道特定断面收敛变形进

行分析。不同扩建方案下隧道周边收敛变形张量云

图 2 城市地铁隧道特殊断面扩建数值模型

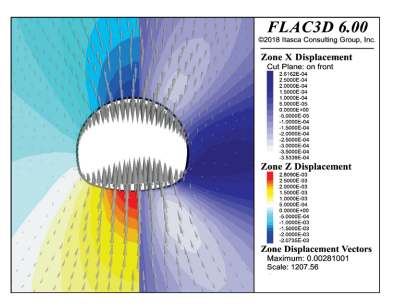
Fig. 2 Special section expansion model of urban subway tunnel

洞周收敛变形分析

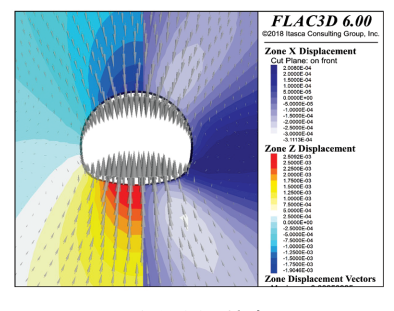
图如图 3 所示。

3 数值模拟分析

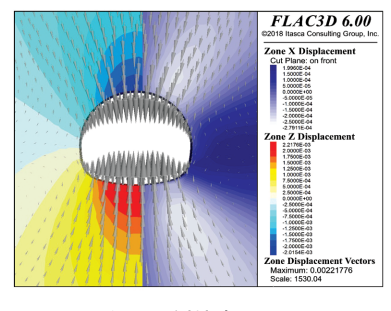
由于不同扩建方案下的地铁隧道施工非为道路 中心线对称,故选择对应部位断面监测点(顶部、 左右拱肩、左右拱腰、左右拱脚、底部)洞周收敛 变形、围岩应力与初期支护结构受力特征进行分析, 计算初支安全系数,结合岩体变形、应力与初支安 全系数等方面确定最优原位扩建方案。



(a) 左侧扩建



(b) 周围扩建



(c) 双侧扩建

图 3 城市地铁隧道洞周收敛张量云图

Fig. 3 Circumference convergence tensor cloud of urban subway tunnel

顶部与底部部位竖直位移最为显著,顶部围岩垂直向下变形,底部围岩垂直向上变形,由于已有隧道周边岩体开挖缺失岩土体,导致临空面位移变形逐渐向内部收敛的趋势。不同扩建方案的底部竖直位移值均高于顶部,说明底部隆起现象优先于顶部沉降。

拱腰部位水平位移较为明显,拱腰左侧围岩水平向右收敛,拱腰右侧围岩水平向左收敛,竖直位移同理。因为临空面扩大水平位移有向内部发生收敛现象,整体水平收敛位移趋于 0.1 mm,因此水平位移不作为施工稳定控制性评价标准。

竖直位移可作为施工稳定控制性评价标准,相 应位移越小对应扩建方案越合理。左侧、周围与双 侧等三种扩建方案顶部沉降分别为 2.1、1.9、2.0 mm,底部隆起分别为 2.8、2.5、2.2 mm,结合顶部与底部竖直位移分析得出合理扩建方案优劣性排序:双侧扩建 > 周围扩建 > 左侧扩建(单侧扩建)。

3.2 围岩应力分析

针对地铁隧道主应力进行分析,主应力表现形式可为拉应力或者压应力,在有限差分软件 FLAC 3D 中主应力"+""-"分别表示拉应力与压应力,代数值较大为最大主应力,反之为最小主应力,不同扩建方案下的地铁隧道围岩主应力如图 4 所示,特殊断面所处区域岩体抗拉强度 1.53 MPa, 抗压强度 16.60 MPa。

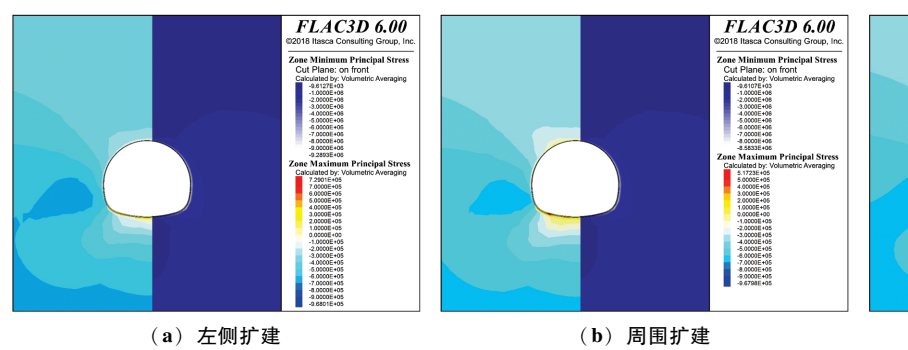
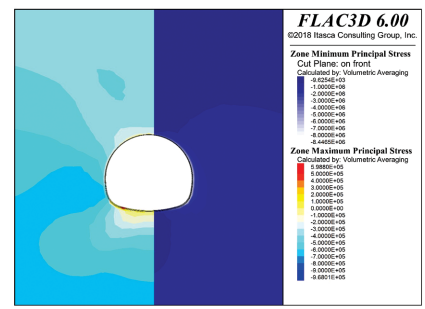


图 4 隧道围岩最大与最小主应力云图



(c) 双侧扩建

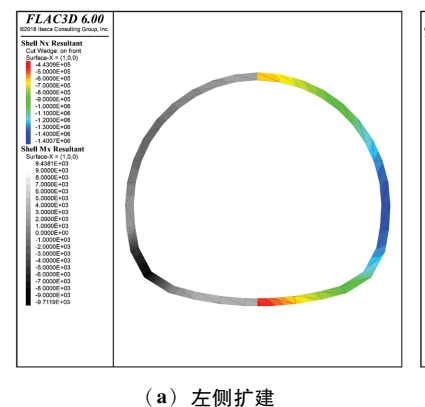
Fig. 4 Maximum and minimum principal stress nephogram of tunnel surrounding rock

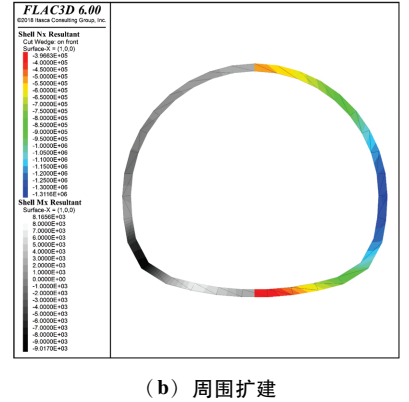
扩建完成后隧道周边岩体受应力重新分布导致 部分区域存在应力集中现象,远离隧道断面区域应 力影响较小, 应力集中现象主要发生于拱腰与底部 附近; 最小主应力均表现为压应力, 最大主应力存 在拉压应力两种形式,最大主应力中的拉应力主要 发生于底部附近,其余部位均为压应力。无论是双 侧、周围或是左侧扩建方案, 主应力表现为拉应力 的峰值均位于底部附近, 压应力峰值均位于拱腰附 近; 左侧、周围、双侧扩建方案的底部附近拉应力 峰值分别为 0.73、0.52 与 0.60 MPa, 拱腰附近压应 力峰值分别为 9.29、8.58 与 8.45 MPa; 分析拉压应 力峰值得出危险点为底部与拱腰, 验算危险点拉压 应力峰值均小于1.53、16.60 MPa, 说明扩建完成后 岩体强度仍满足要求,结合主应力(拉压应力)角 度分析,合理扩建方案优劣性排序:双侧扩建>周 围扩建 > 左侧扩建 (单侧扩建)。

3.3 初支安全系数分析

在扩建过程中,初期支护作用是防止扩挖施工 时应力释放过快、过多,导致开挖面发生塌方,其 主要作用是与岩体协同变形,共同承担施工阶段的岩体荷载。有限差分软件中壳单元可直接模拟得出支护结构的轴力与弯矩,图 5 为三种不同扩建方案的初期支护内力图(轴力与弯矩),按照 GB/T 50010—2010《混凝土结构设计规范》(简称"规范法")中相应公式计算出各部位初期支护安全系数值,选取素混凝土安全系数取 2.0 作为施工阶段初期支护安全系数界限值,得出不同扩建方案下各部位初期支护安全系数分布,如图 6 所示。

通过对图 5、图 6分析可知:不同扩建方案的轴力均为压力,轴力峰值与最低值分别位于拱腰与底部,左侧、周围与双侧扩建方案的拱腰轴力峰值分别为1.40、1.31、1.31 MPa,底部轴力最低值分别为0.44、0.40、0.33 MPa。不同扩建方案的弯矩有正负之分,正负弯矩峰值均位于拱脚处,发生反号原因是由于拱脚处剪力较大,取弯矩绝对值的最大数值进行分析。左侧、周围与双侧扩建方案下拱脚弯矩绝对值的最大数值分别为 9.71、9.00、8.92 kN·m;综合施工阶段初期支护内力角度分析得出扩建方案





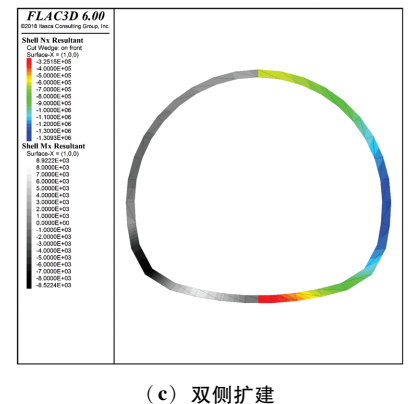


图 5 隧道初期支护轴力与弯矩

Fig. 5 Axial force and bending moment of tunnel primary support

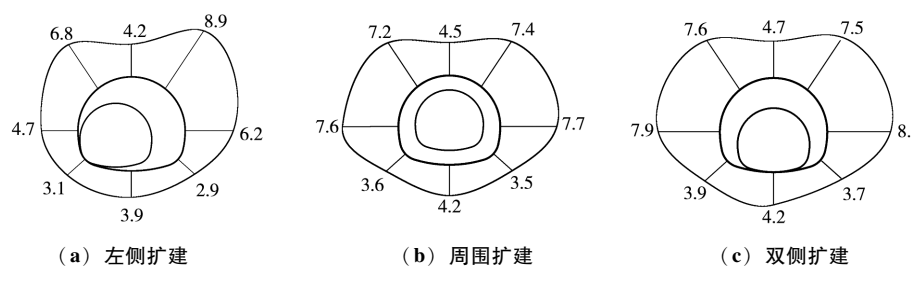


图 6 隧道初支安全系数分布图

Fig. 6 Safety factor distribution diagram of tunnel initial support

优劣性排序:双侧扩建>周围扩建>左侧扩建(单侧扩建)。

初期支护安全系数,除左侧扩建以外,其余两种扩建方案初期支护安全系数基本呈现对称分布规律;左侧扩建由于既有隧道岩土体的缺失导致左侧施工安全性降低,采用单侧扩建施工过程中应改善相应侧初期支护加固措施,周围与双侧扩建方案初期支护安全系数由于对称分布,左右两边拱肩、拱腰与拱脚安全系数相差不大,主要是由于网格划分原因。

初期支护安全系数较小值分布于顶部、拱脚与底部,不同扩建方案各部位初期支护安全系数均高于界限值 2,说明隧道在扩建期间处于安全稳定状态;左侧扩建初期支护各部位安全系数明显小于其他两种扩建方案,相比较其他两种方案,双侧扩建更具有优势,因此从初期支护安全系数角度出发,扩建方案优劣性排序:双侧扩建>周围扩建>左侧扩建(单侧扩建)。

4 结论

以某城市地铁隧道扩建为研究背景,运用 FLAC 3D 有限元差分软件进行数值仿真,分析采用两台阶法不同扩建方案工况下的洞周收敛变形、围岩应力、初支受力特征与初支安全系数,得到以下主要结论:

- (1) 以位移为评价标准,扩建方案的优劣性排序为: 双侧扩建优于周围扩建,周围扩建优于左侧扩建 (即单侧扩建)。底部隆起现象优先于顶部沉降,拱腰部位的水平位移较为显著。
- (2) 综合考虑主应力,底部和拱腰为危险点, 扩建方案的优劣性排序为:双侧扩建优于周围扩建, 周围扩建优于左侧扩建(单侧扩建)。
 - (3) 综合初支内力安全系数,左侧扩建的初支

安全系数相对较小,双侧扩建更具优势,扩建方案的优劣性排序为:双侧扩建优于周围扩建,周围扩建优于左侧扩建(单侧扩建)。

参考文献

- [1] 欧予月. 地铁区间隧道原位扩建施工力学行为及扩建参数优化研究 [D]. 重庆: 重庆交通大学, 2022.
- [2] 李永山, 陈良兵, 黄锦春等. 特大断面隧道原位扩建的施工力 学特性分析 [J]. 路基工程, 2018, 197 (2): 201-206.
- [3] 黄明利, 申巧凤, 申荣杰. 单洞双线盾构隧道扩挖地铁车站方案研究[J]. 现代隧道技术, 2017, 54 (6): 15-23.
- [4] 贾磊. 复杂条件盾构区间隧道扩挖力学行为研究 [D]. 兰州: 兰州交通大学, 2019.
- [5] 戴世颖. 复杂环境下既有隧道改扩建断面力学行为研究 [J]. 城市轨道交通研究, 2022, 25 (7): 147-151, 156.
- [6] 刘翠清. 市政隧道改建对邻近地铁结构扰动的影响分析 [J]. 粉煤灰综合利用, 2021, 35 (1); 25-30, 51.
- [7] 胡秋芳. 城市地铁工程隧道扩挖施工技术研究 [J]. 工程技术研究, 2022, 7 (19): 40-42.
- [9] 刘小鹏. 超前导洞不同扩建方案对隧道稳定性的影响研究 [J]. 北方交通, 2022 (12): 66-69.
- [10] 赖勇, 张帅. 流固耦合作用下隧道原位扩建扩挖方式研究 [J]. 地下空间与工程学报, 2019, 15 (SI): 311-320.
- [11] 赵文,王鑫,柏谦.原位扩建既有隧道竖井与主洞交叉段施工力学 [J]. 东北大学学报(自然科学版),2021,42(5):713-719.
- [12] 仇在林. 超大断面隧道小导洞先行与台阶反扩挖施工技术研究 [J]. 公路工程, 2018, 43 (4): 48-52, 56.
- [13] 刘明辉,殷爱国,郭伟. 既有隧道扩挖改造的施工控制及数值模拟研究 [J]. 铁道工程学报,2014,31 (11):98-103.
- [14] 谢支钢, 邹大成, 杨俊, 等. 既有公路扩挖隧道初支、二衬受力特性研究 [J]. 南阳理工学院学报, 2022, 14 (06): 86-90.
- [15] 谢宗良, 蒋文帅. 水工隧道改扩建施工安全控制措施 [J]. 水利水电快报, 2022, 43 (S2): 47-48, 54.